

УДК 548:537.611.46

© 1992

ИССЛЕДОВАНИЕ МАГНИТНОЙ СТРУКТУРЫ ГРАНАТОВ $Tb_xY_{3-x}Fe_5O_{12}$ МЕТОДОМ ЯМР

В. Д. Дорошев, М. М. Савоста

При $T = 4.2$ К изучен ЯМР Fe^{57} в октаэдрических и тетраэдрических узлах гранатов $Tb_xY_{3-x}Fe_5O_{12}$ ($x = 0.1, 0.26$) с легкой осью [001]. Анализ положения сателлитных линий в спектрах позволил определить магнитную структуру редкоземельной подрешетки: $m = 8.53 (20) \mu_B$, $m' \cos \phi = -5.65 (20) \mu_B$, $\phi < 30^\circ$. Из сравнения полученных результатов с данными магнитных измерений сделан вывод о независимости магнитной структуры тербиевой подрешетки от концентрации тербия x (при неизменной легкой оси). На этой основе показано, что скачок намагниченности $Tb_3Fe_5O_{12}$ в магнитном поле $H \parallel [001]$ обусловлен ориентационным фазовым переходом $[111] \rightarrow [001]$, индуцированным магнитным полем.

Известно, что в редкоземельных (РЗ) ферритах-гранатах магнитные моменты РЗ-ионов, исключая ион Gd^{3+} с нулевым орбитальным моментом, упорядочиваются неколлинеарно железным подрешеткам, формируя так называемую «зонтичную» структуру. Причина такого поведения кроется в анизотропном характере взаимодействия РЗ-иона с кристаллическим полем и обменного взаимодействия с ионами железа. Для тербьевого феррита-граната $Tb_3Fe_5O_{12}$ с легкой осью [111] магнитная структура ионов тербия в двух неэквивалентных додекаэдрических позициях определена методом дифракции нейтронов [^{1, 2}]: $m = 8.18 (2) \mu_B$, $\theta = 30.79 (2)^\circ$, $m' = 8.90 (2) \mu_B$, $\theta' = 28.07 (5)^\circ$ при $T = 4.2$ К. Суммарная намагниченность $Tb_3Fe_5O_{12}$, полученная из этой «двойной зонтичной» структуры, находится в хорошем соответствии с результатами магнитных измерений [^{1, 3}]. В магнитном поле, ориентированном вдоль «трудной» оси [001], наблюдается скачкообразное изменение намагниченности ¹ от значения $M = 20.17 \mu_B$, близкого к проекции $M_{(111)} = 34.53 \mu_B$ на ось [001], к большей величине $\sim 31 \mu_B$ (при $T = 4.2$ К) [^{1, 4}].

Авторы работы [⁴] объяснили наблюдаемую аномалию кривой намагничивания разрушением «зонтичной» магнитной структуры РЗ-подрешетки $Tb_3Fe_5O_{12}$ в относительно сильных полях. Однако в [⁵] показано, что наблюдаемый скачок отвечает спин-переориентационному фазовому переходу в железной подрешетке, т. е. переориентации легкой оси намагничивания к [001], хотя, конечно, спиновая переориентация в поле вызывает в свою очередь изменение зонтичной структуры редкоземельных ионов. Спонтанный ориентационный фазовый переход $[111] \leftrightarrow [001]$ (переход по температуре) наблюдается в смешанных тербий-иттриевых гранатах (Tb-Y)IG в широком диапазоне концентраций Tb [^{6, 7}].

Магнитные исследования Tb-Y-гранатов при низких температурах свидетельствуют о том, что средний момент РЗ-подрешетки в расчете на один ион

¹ Значения намагниченности экстраполированы к $H = 0$ и относятся к двум формульным единицам $2Tb_3Fe_5O_{12}$.

Tb^{3+} не зависит от концентрации Tb , но меняется с изменением оси легкого намагничивания [8]. Можно ожидать поэтому, что магнитная структура Tb в ($Tb-Y$) IG соответствует магнитной структуре $Tb_3Fe_5O_{12}$ с соответствующим направлением намагченности.

В данной работе изучался ЯМР ^{57}Fe гранатов $Tb_xY_{3-x}Fe_5O_{12}$ с легкой осью [001] при гелиевых температурах. При малых замещениях $x \sim 0.2$ присутствие РЗ-иона в ближайшем окружении ионов Fe^{3+} , локализованных в тетраэдрических (d) и октаэдрических (a) узлах, вызывает появление в спектрах ЯМР ^{57}Fe сателлитов, положение которых относительно основных линий связано с величиной и направлением магнитного момента РЗ-ионов. Поэтому при учете изменения кристаллического поля, вызванного замещением, возможно определение неколлинеарной «зонтичной» магнитной структуры РЗ-ионов. Соответствующий анализ был проведен ранее при изучении магнитной структуры РЗ-подрешеток диамагнитно разбавленных ферритов-гранатов гольмия [9] и эрбия [10] методом ЯМР.

1. Эксперимент

Монокристаллы $Tb_xY_{3-x}Fe_5O_{12}$ с $x = 0.1, 0.26$ были получены методом спонтанной кристаллизации из раствора в расплаве. Состав кристаллов определялся на рентгеновском микроанализаторе с точностью по $x \sim 0.02$. Спектры ЯМР при $T = 4.2$ и 1.75 К записывались методом двухимпульсного спинового эха на полуавтоматическом некогерентном спектрометре ЯМР с разверткой частоты возбуждающих импульсов и накоплением сигнала с помощью стробоскопического интегратора. Регистрировался только сигнал от доменов за счет временной селекции строб-импульсом, поскольку длительность и положение эхо-сигналов от доменов и доменных границ при больших длительностях возбуждающих импульсов, применявшихся нами ($10-30$ мкс), существенно различаются.

В структуре граната a -узлы искажены тригонально с C_3 -осами симметрии параллельно направлениям [111], d -узлы обладают тетрагональной симметрией (оси S_4 || [001]). Для легкой оси [001] все Fe^{3+} (a)-ионы эквивалентны, но имеются два типа неэквивалентных Fe^{3+} (d)-ионов: с осями S_4 вдоль M (обозначены далее как $d_{||}$) и ионы, для которых $S_4 \perp M$ (d_{\perp}). В соответствии с этим спектр ЯМР ^{57}Fe состоит из одной основной линии для a -узлов и двух основных линий с интенсивностями $2:1$ для d -узлов. Замещение диамагнитного иона Y^{3+} на магнитный Tb^{3+} вблизи Fe^{3+} приводит к модификации локального поля на ядре ^{57}Fe как за счет дипольного поля, индуцированного магнитным моментом Tb^{3+} (ΔB_{dip}), так и за счет изменения кристаллического поля и вклада косвенного сверхтонкого поля при замещении (ΔB_s). В результате число неэквивалентных узлов железа и соответственно число линий ЯМР увеличивается (рис. 1). В a -узлах к разрешенным по частоте сателлитам приводит замещение лишь в ближайшем c -окружении. Для d -узлов при анализе сателлитной структуры необходимо также учитывать и следующее за ближайшим c -окружение (соответствующие величины мы будем помечать тильдой) [11].

Предполагая случайное распределение ионов Tb^{3+} при замещении, мы вправе были ожидать, как и в случае других РЗ-ионов, что относительная интенсивность сателлитов определяется простым биномиальным правилом $r = c/(1-c)$, где $c = x/3$ — концентрация замещения. Однако при $T = 4.2$ К для $x = 0.1$ интенсивность сателлитов оказалась заниженной вдвое, а для $x = 0.26$ втрое против ожидаемой. Понижение температуры до 1.75 К несколько улучшило соотношение интенсивностей (рис. 1). Интенсивность же сателлита $F \approx 65.7$ МГц приблизительно в 5 раз меньше расчетной при $x = 0.1$ (при $x = 0.26$ сателлит 65.7 МГц не удалось надежно зарегистрировать по причине уменьшения общей интенсивности сигналов

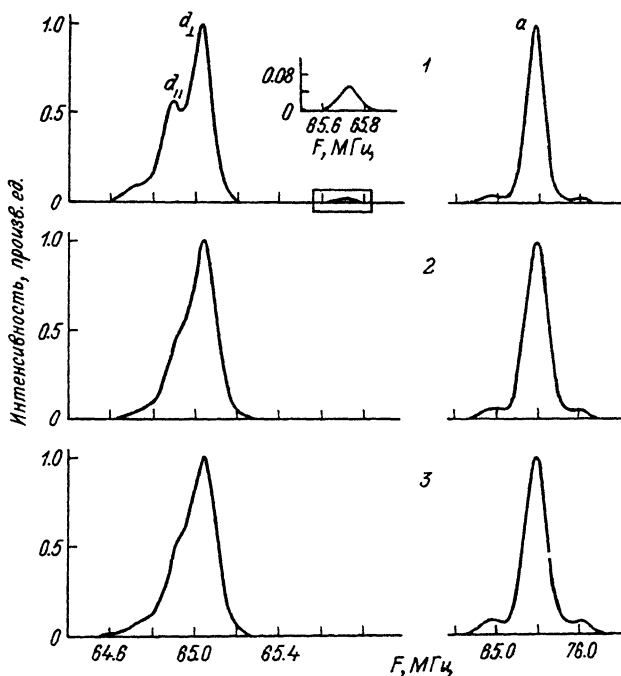


Рис. 1. Спектры ЯМР ^{57}Fe в тетраэдрических (d) и октаэдрических (a) узлах тербий-иттриевых ферритов-гранатов $\text{Tb}_x\text{Y}_{3-x}\text{Fe}_5\text{O}_{12}$ для $x = 0.1$ (1), 0.26 (2, 3). $T = 4.2$ (1, 2) и 1.75 K (3).

ЯМР ввиду роста магнитной анизотропии). Мы полагаем, что наряду с возможным различием времен релаксации сателлитных и основных линий важную роль может играть наличие локальной анизотропии коэффициента усиления ЯМР в сильноанизотропных соединениях.

2. Анализ результатов

Локальная симметрия РЗ-ионов в c -узлах ромбическая. В общем случае имеется 6 типов c -узлов с различно ориентированными локальными осями C_2 . Для оси легкого намагничивания [001] в предположении, что магнитные моменты Tb^{3+} остаются в плоскостях типа (110), и учитывая ограничения, накладываемые симметрией, магнитная структура ионов Tb описывается табл. 1. Сверхтонкое поле на ядре ^{57}Fe B_{HF} в незамещенном гранате направлено коллинеарно спину $\langle s \rangle$ иона Fe^{3+} . Поскольку $|B_{dip}| > |B_{HF}|$, при вычислении дипольного вклада достаточно учитывать лишь проекцию B_{dip} на $\langle s \rangle$

Таблица 1
Локальные координатные системы для c -узлов в структуре граната и соответствующие магнитные моменты для легкой оси [001].

c -узел	x	y	z	Магнитный момент
1	011	011	100	$m' (0 a c)$
2	101	101	010	$m' (a 0 c)$
3	110	110	001	$m' (0 0 1)$
4	011	011	100	$m' (0 a c)$
5	101	101	010	$m' (a a c)$
6	110	110	001	$m' (0 0 1)$

$$\Delta B_{\text{dip}}^i = \frac{\mu_0}{4\pi r_i^5} [3(m_i r_i)(r_i n) - (m_i n) r_i^2], \quad (1)$$

где r — радиус-вектор, связывающий магнитный момент Tb^{3+} с центральным ионом Fe^{3+} ; $n = \langle s \rangle / |\langle s \rangle|$.

Изменение вклада кристаллического окружения в B_{HF} изучено при замещении Y^{3+} различными РЗ-ионами [10, 12, 13]. Наибольшее изменение ΔB_c происходит при замещении в ближайшем окружении Fe^{3+} (d)-ионов, т. е. $|\Delta B_c^{(d)}| > |\Delta \tilde{B}_c^{(d)}|$ и $|\Delta B_c^{(a)}| > |\Delta \tilde{B}_c^{(a)}|$. Оказалось, что в пределах точности определения $\Delta B_c^{(d)}$ и $\Delta B_c^{(a)}$ пропорциональны разности ионных радиусов: $\Delta R_{\text{ион}} = R_{\text{ион}}(\text{РЗ}^{3+}) - R_{\text{ион}}(\text{Y}^{3+})$ и для больших $\Delta R_{\text{ион}}$ величина ΔB_c существенно анизотропна. По-видимому, вклад переноса спиновой плотности от РЗ-иона к иону железа, немонотонно изменяющийся в ряду РЗ-ионов, в данном случае имеет второстепенное значение. Анизотропия ΔB_c может быть описана в рамках модели независимых связей, в основе которой лежит предположение о независимости вкладов отдельных лигандов в сверхтонкое поле, причем вклад каждого лиганда отражает аксиальную симметрию связи катион—лиганд [14]. Для изменения ΔB_c можно записать

$$\Delta B_{c,k} = \Delta b_0 + \Delta b \cos^2 \nu_k, \quad (2)$$

где Δb_0 и Δb характеризуют изменение электронной структуры кислорода и его смещение при замещении $\text{Y}^{3+} \rightarrow \text{Tb}^{3+}$; k — индекс кислорода в цепочках $\text{Tb}^{3+}-\text{O}^{2-}-\text{Fe}^{3+}$. В структуре граната Fe^{3+} (d)-ион связан с ближайшим РЗ-ионом через два кислорода, однако, поскольку обе связи идентичны, достаточно просуммировать (2) по двум связям без увеличения числа параметров. Для Fe^{3+} (a)-ионов ситуация еще более сложная, поскольку имеются две неэквивалентные связи с РЗ-ионами. Здесь приходит на помощь то обстоятельство, что ввиду относительно небольшой разности ионных радиусов Tb^{3+} и Y^{3+} ($\Delta R_{\text{ион}} = 0.021 \text{ \AA}$) можно ожидать, что $\Delta B_c^{(a)}$ будет достаточно мало. Тогда его можно положить изотропным. Такой подход оправдал себя, в частности, для Er^{3+} ($\Delta R_{\text{ион}} = -0.015 \text{ \AA}$) (для более подробной дискуссии см. [10]).

О закономерности изменения величины $\Delta \tilde{B}_c^{(d)}$ в ряду РЗ-ионов известно мало. Можно привести лишь два известных значения: для иона Er^{3+} $|\Delta \tilde{B}_c^{(d)}| < 0.05 \text{ МГц}$ [10], для иона Cd^{3+} ($\Delta R_{\text{ион}} = 0.024 \text{ \AA}$) $\Delta \tilde{B}_c^{(d)} + 0.949 \Delta \tilde{B}_c^{(a)} = 0.08 \text{ (2) МГц}$ [11].

В табл. 2 приведены рассчитанные, согласно (1), (2), расщепления сателлитов, возникающих при замещении одного иона Y^{3+} на Tb^{3+} вместе с экспериментально определенными расщеплениями.

Для однозначной идентификации разрешенных по частоте сателлитов при разумных значениях ΔB_c достаточно учесть, что

$$m, m' \ll m_{\max} = 9\mu_B. \quad (3)$$

Два разрешенных сателлита Fe^{3+} (a)-узлов (s_1 и s_2) позволяют определить

$$m'c = 5.65 (20) \mu_B, \quad \Delta b_0^{(a)} = 0.037 (18) \text{ МГц}. \quad (4)$$

Как ожидалось, величина $\Delta b_0^{(a)}$ оказалась достаточно малой, поэтому сделанное выше упрощение в отношении $\Delta B_c^{(a)}$ незначительно влияет на точность определения проекций момента m' на ось [001]. К сожалению, лишь один хорошо разрешенный сателлит, а именно $s_1 (d_{||})$, имеется в спектре d -узлов. Непосредственно из его положения (табл. 2) с учетом (3) следует, что

Таблица 2

Сателлиты для $Tb_3Y_{3-x}Fe_5O_{12}$ с легкой осью [001]. Использованы данные кристаллической структуры для $Y_3Fe_5O_{12}$. I — теоретическая интенсивность сателлита относительно главной линии, $r = 1/3 \cdot x(1 - x/3)$. Величины $\Delta B_c^{(d)}$ и $\Delta b_0^{(d)}$ относятся к замещению $H^{3+} \rightarrow Tb^{3+}$ во второй координационной сфере иона Fe^{3+} . $c_1 = 0.0433$ МГц, $c_2 = 0.0236$ МГц, $c_3 = -0.031$ МГц.

	Сателлит	ΔB_{dip}	ΔB_c	I	$\Delta B_{\text{ЭКСП, МГц}}$
a	s_1	$-7/5 c_3 m/c$	$\Delta b_0^{(d)}$	$2r$	-0.208(10)
	s_2	$c_3 m/c$	$\Delta b_0^{(d)}$	$2r$	+0.212(10)
	s_3	$2/5 c_3 m$	$\Delta b_0^{(d)}$	$2r$	
$d_{ }$	s_1	$2c_1 m$	$\Delta b^{(d)} + 2 \cdot 0.4219 \Delta b_0^{(d)}$	$2r$	+0.835(15)
	s_2	$c_1 m/(a - c/2)$	$\Delta b^{(d)} + 0.4219 \Delta b_0^{(d)}$	$4r$	-0.150(20)
d_{\perp}	s_1	$-c_1 m/c$	$\Delta b_0^{(d)} + 2 \cdot 0.1415 \Delta b^{(d)}$	r	
	s_2	$-c_1 m/c$	$\Delta b_0^{(d)} + 2 \cdot 0.4366 \Delta b^{(d)}$	r	
	s_3	$c_2 m/(a + c)$	$\Delta b^{(d)} + 0.1415 \Delta b_0^{(d)}$	$2r$	+0.105(30)
	s_3	$-I/2 c_2 m$	$\Delta b_0^{(d)} + 0.4366 \Delta b^{(d)}$	$2r$	

$$\Delta b_0^{(d)} + 0.844 \Delta b_0^{(d)} > 0.055 \quad (15) \text{ МГц.} \quad (5)$$

Для того чтобы извлечь из положения сателлита $s_1 (d_{||})$ значение магнитного момента m , мы использовали отмеченную выше линейную зависимость $\Delta B_c^{(d)}$ от разности ионных радиусов Y^{3+} и $P3^{3+}$. Наиболее удобным оказалось привлечь значение $\Delta b_0^{(d)} + 2 \cdot 0.4219 \Delta b^{(d)} = -0.069 \quad (8) \text{ МГц}$, полученное из положения аналогичного сателлита в $(Er-Y)IG$ с легкой осью [001], где магнитный момент m надежно определен ^[10]. Поскольку $\Delta R_{\text{ион}}(Tb-Y)/\Delta R_{\text{ион}}(Er-Y) = -1.4$, для иона Tb^{3+} имеем

$$\Delta b_0^{(d)} + 2 \cdot 0.4219 \Delta b^{(d)} = 0.096(11) \text{ МГц}, \quad m = 8.53(20) \mu_B. \quad (6)$$

Формальное разложение остального спектра d -узлов на минимально возможное количество линий гауссовой формы, адекватно описывающих форму спектра, позволило определить положение еще двух сателлитов. С учетом (3), (4) и (5) возможно однозначно поставить им в соответствие сателлиты $s_2 (d_{||})$ и $s_3 (d_{\perp})$ из табл. 2. Расчетные расщепления оставшихся сателлитов $Fe^{3+} (d)$ -узлов оказываются таковыми, что они замаскированы главными линиями. В качестве примера на рис. 2 приведено разложение фрагмента спектра $Fe^{3+} (d)$ -узлов для $Tb_{0.26}Y_{2.74}Fe_5O_{12}$, где заштрихованными прямоугольниками показано возможное положение неразрешенных сателлитов, согласно данным табл. 2.² Определенное таким образом положение сателлитов $s_2 (d_{||})$ и $s_3 (d_{\perp})$ позволяет получить информацию относительно угла зонтика ψ . Привлекая (4) и обсуждавшееся выше условие

$$|\Delta \tilde{B}_c^{(d)}| < |\Delta B_c^{(d)}| \leq 0.1 \text{ МГц}, \quad (7)$$

получаем, что угол, который образует магнитный момент m' с направлением [001], ограничен величиной

$$c > 0.87, \text{ т. е. } \psi < 30^\circ. \quad (8)$$

² Разложение спектров ЯМР $Fe^{3+} (d)$ -узлов было проведено для $x = 0.1$ ($T = 4.2$ К), $x = 0.26$ ($T = 1.75$ К), $x = 0.26$ ($T = 4.2$ К). Полученные положения сателлитов относительно основных линий во всех случаях оказались неизменными.

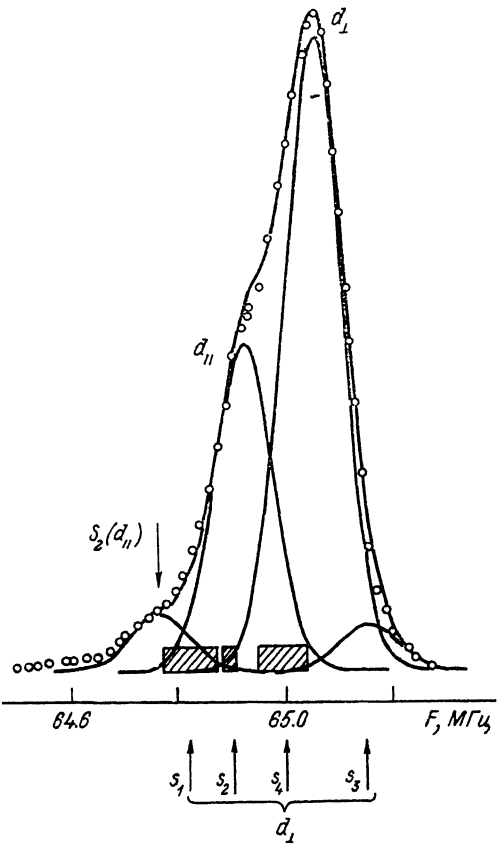


Рис. 2. Разложение ЯМР спектра Fe^{57} в тетраэдрических узлах $\text{Tb}_{0.26}\text{Y}_{2.74}\text{Fe}_5\text{O}_{12}$ ($T = 1.75 \text{ K}$).

Светлые кружки — экспериментальный спектр; сплошные линии — главные линии и сателлиты, полученные в результате формального разложения, а также суммарный подрешеточный спектр; заштрихованные прямогуольники — возможное положение неразрешенных сателлитов. Ширина прямогуольников учитывает неопределенность m , m' , $\Delta b_0^{(d)}$ и $0.84 \Delta b_c^{(d)}$ и ограничена условиями $\Delta b_0^{(d)} < 0.2 \text{ МГц}$ и $|\Delta b_c^{(d)}| < 0.1 \text{ МГц}$.

3. Обсуждение результатов

В начале нашего анализа мы предположили, что магнитные моменты Tb^{3+} в ($\text{Tb} - \text{Y}$) IG располагаются в плоскостях типа (110), как это определено нейтронографически для незамещенного $\text{Tb}_3\text{Fe}_5\text{O}_{12}$. Форма спектров ЯМР позволяет подтвердить это предположение. Дело в том, что в случае более общего расположения магнитных моментов число сателлитов в спектре ЯМР должно быть больше приведенного в табл. 2, что противоречит эксперименту. В исследованных нами образцах $\text{Tb}_x\text{Y}_{3-x}\text{Fe}_5\text{O}_{12}$ с $x = 0.1, 0.26$ и легкой осью типа [001] положение сателлитов относительно главных линий не зависит от концентрации x . Следовательно, магнитная структура редкоземельной подрешетки неизменна.

$$m = 8.53 (20) \mu_B, m'c = 5.65 (20) \mu_B,$$

$$c > 0.87, \psi < 30^\circ$$

и средний магнитный момент в расчете на один ион Tb^{3+} составляет $6.6 (2) \mu_B$. Этот результат хорошо согласуется с измерением намагниченности монокристалла $\text{Tb}_{0.37}\text{Y}_{2.63}\text{Fe}_5\text{O}_{12}$ вдоль легкой оси [001], которое для среднего момента Tb^{3+} дает значение $6.52 \mu_B$ [8]. В этой же работе [8] измерения намагниченности поликристаллов $\text{Tb}_x\text{Y}_{3-x}\text{Fe}_5\text{O}_{12}$ с $x = 2, 2.5, 3$ с легкой осью при низких температурах [111] также показали независимость магнитной структуры от концентрации замещающих ионов Tb^{3+} . Наконец, было показано [15], что коэффициенты молекулярного поля, описывающие взаимодействие между РЗ и железной подрешетками, не зависят от содержания Tb, а само суперобменное взаимодействие мало чувствительно к изменению параметра решетки, связанного с различием ионных радиусов Tb^{3+} и Y^{3+} . Поэтому мы считаем, что определенная нами в нулевом поле магнитная структура ионов Tb^{3+} в гранатах $\text{Tb}_x\text{Y}_{3-x}\text{Fe}_5\text{O}_{12}$ с легкой осью [001] может быть привлечена для объяснения значения намагниченности $\text{Tb}_3\text{Fe}_5\text{O}_{12}$ с легкой осью [111], намагниченного до состояния насыщения вдоль [001].

Действительно, как уже отмечалось, в магнитном поле $H \parallel [001]$ наблюдается скачок намагниченности $\text{Tb}_3\text{Fe}_5\text{O}_{12}$ от значения $M = 20.17 \mu_B$ к

значению $M \sim 31\mu_B$ при $T = 4.2$ К со средним моментом на ион $Tb^{3+} \sim 6.7\mu_B$ [1, 4]. Эта величина очень хорошо согласуется с ожидаемым по результатам данной работы средним моментом $6.6(2)\mu_B$ для $Tb_3Fe_5O_{12}$ с намагниченностью вдоль [001]. Очевидно, что наблюдаемый скачок представляет собой ориентационный фазовый переход $[111] \rightarrow [001]$, индуцированный магнитным полем, который сопровождается изменением зонтичной магнитной структуры РЗ-подрешеток.

Авторы признательны П. Новаку за постановку задачи и плодотворные обсуждения, а также Б. В. Миллю за любезно предоставленные монокристаллы.

Список литературы

- [1] Lahoubi M., Guillot M., Marchand A., Tcheou F., Roudaut E. // IEEE Trans. Magn. 1984. V. 20. N 5. P. 1518—1520.
- [2] Hock R., Fuess H., Vogt T., Bonnet M. // J. Solid State Chem. 1990. V. 84. N 1. P. 39—51.
- [3] Guillot M., Le Gall H. // J. de Phys. 1977. V. 38. N 7. P. 871—875.
- [4] Vien T. K., Dormann J. L. / Phys. Lett. 1977. V. 61a. N 5. P. 336—338.
- [5] Baryakhtar V. G., Borodin V. A., Doroshev V. D., Kovtun N. M., Levitin R. Z., Stefanovskii E. P. // Solid State Commun. 1978. V. 28. N 3. P. 265—266.
- [6] Белов К. П., Звездин А. К., Левитин Р. З., Маркосян А. С., Милль Б. В., Мухин А. А., Перов А. П. // ЖЭТФ. 1975. Т. 68. № 3. С. 1189—1202.
- [7] Бородин В. А., Дорошев В. Д., Ключан В. А., Ковтун Н. М., Левитин Р. З., Маркосян А. С. // ЖЭТФ. 1976. Т. 70. № 4. С. 1363—1378.
- [8] Guillot M., Marchand A., Desvigness J. M., Le Gall H., Merceronand T., Guillaud M. // Z. Phys. B. 1989. V. 74. N 3. P. 335—339.
- [9] Englisch J., Lutgemeier H., Pieper M. M., Nekvasil V., Novak P. // Solid State Commun. 1985. V. 56. N 9. P. 825—828.
- [10] Borodin V. A., Doroshev V. D., Tarasenko T. N., Savosta M. M., Novak P. // J. Phys.: Condens. Matter. 1991. V. 3. P. 5881—5892.
- [11] Englisch J., Novak P., Kuripach J., Lutgemeier H. // Hyperfine Inter. 1990. V. 59. N 1—4. P. 493—496.
- [12] Brabenec M., Englisch J., Novak P., Lutgemeier H. // Hyperfine Inter. 1987. V. 34. N 1—4. P. 459—461.
- [13] Englisch J., Novak P., Lutgemeier H. // Hyperfine Inter. 1990. V. 59. N 1—4. P. 283—288.
- [14] Englisch J., Brabenec M., Novák P., Lutgemeier H. // J. Magn. Magn. Mat. 1985. V. 50. N 1. P. 74—82.
- [15] Rodic D., Sctula A., Tomkowicz Ź., Guillot M., Le Gall H. // J. Magn. Magn. Mat. 1989. V. 75. N 1—2. P. 79—87.

Донецкий
физико-технический институт

Поступило в редакцию
19 декабря 1991 г.